

بِسْمِ اللَّهِ الرَّحْمَنِ الرَّحِيمِ

In the Name of Allah The Merciful Beneficent

«وَفِي الْأَرْضِ آيَاتٌ لِّلْمُوقِنِينَ إِفْلَا تُبَصِّرُونَ»

و در زمین و در نفس‌هایتان برای اهل یقین آیات و نشانه‌هایی است

، پس آیا به چشم بصیرت نمی‌نگرید؟ (ذاریات/۲۱)



دانشکده علوم زمین  
گروه پترولوژی و زمین‌شناسی اقتصادی

پترولوژی و ژئوشیمی توده‌های گرانیتوئیدی خضر آباد-عقدا  
(غرب بزد) و دگرگونی مجاورتی مرتبط با آنها

نگارنده:

جواد قانعی اردکانی

اساتید راهنمای:

دکتر حسین مهدی‌زاده شهری

دکتر علی درویش‌زاده

استاد مشاور:

دکتر محمدعلی مکی‌زاده

رساله جهت اخذ درجه دکتری

شهریور ۹۳

پیوست شماره ۲

دانشگاه صنعتی شاهرود

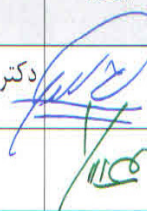
دانشکده: علوم زمین

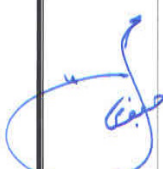
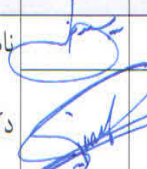
گروه: پترولوزی

رساله دکتری آقای جواد قانعی اردکان

تحت عنوان: پترولوزی و زئوژیمی توده های گرانیتوئیدی خضرآباد- عقدا (غرب یزد) و دگرگونی مجاورتی مرتبط با آنها

در تاریخ ۹۳/۶/۲۱ توسط کمیته تخصصی زیر جهت اخذ رساله دکتری ارزیابی گردید و با درجه ..... مورد پذیرش قرار گرفت.

امضاء	اساتید مشاور	امضاء	اساتید راهنمای
—	دکتر محمد علی مکی زاده		دکتر حسین مهدیزاده شهری
			دکتر علی درویش زاده

امضاء	نامینده تحصیلات تكميلي	امضاء	اساتید داور
	نام و نام خانوادگی:		دکتر سید مسعود همام
	دکتر هادی جعفری		دکتر عباس آسیابانها
			دکتر علی کهیرانیان

## تشکر و قدردانی

شایسته است که ابتدای کلام را با نام مدبری آذنم که تدبیرش عقل‌های جهان را درمانده کرده و سخن را با نام کسی بگشایم که صنعش ما را به خود مشغول داشته و معماهای شگرف را در هر آنچه تصور نماییم، طرح نموده و اکنون جهان را کلیدی برای گشودن قوانین موجود قرار داده است.

خدایا! اکنون که از لابه‌لای ساختها و بافت‌های نقش بسته در سنگ‌ها پی به گذشته می‌بریم و بر نتیجه کار گذشتگان به قضاوت می‌نشینیم، جز تدبیر، حکمت و نظم به چیزی دیگر فکر نمی‌کنیم و هرچه در کوه‌ها و سنگ‌ها نظر کردیم، جز عظمت تو و کوچکی خویش پند دیگری نیافتیم.

اینک که در سایه سار الطاف الهی این رساله را پایان رساندم، از درگاه حضرتش توفیق بیشتر در کسری، اخلاق و دانش را مسئلت می‌نمایم و از خداوند بزرگ می‌خواهم که شوق آموختن و انگیزه دانش پژوهی را بیش از پیش در من تقویت نماید تا بیشتر به حقایق جهان آگاهی یافته و آنگاه در راه سلامت جامعه و ترقی کشور عزیzman ایران گام‌های مؤثری بردارم.

بی‌شک به پایان رسیدن این رساله امکان پذیر نبود مگر با مساعدت عزیزانی که هر یک به نوعی نگارنده را یاری نمودند و در اینجا برخورد لازم می‌دانم، از یکایک آنان تقدیر و تشکر نمایم:

- استاد راهنما جناب آقای دکتر حسین مهدی‌زاده شهری
- استاد راهنما جناب آقای دکتر علی درویش‌زاده
- استاد مشاور جناب آقای دکتر محمدعلی مکی‌زاده
- جناب آقای دکتر محمود صادقیان
- جناب آقای دکتر مسعود همام، دکتر عباس آسیابانها و دکتر علی کنعانیان داوران محترم
- جناب آقای دکتر امیدی ریاست محترم دانشکده علوم زمین
- جناب آقای دکتر طاهری معاونت آموزشی محترم دانشکده علوم زمین
- جناب آقای دکتر هادی جعفری مدیر گروه محترم زمین‌شناسی
- جناب آقای دکتر کرمی ریاست محترم سابق دانشکده علوم زمین
- جناب آقای دکتر کاظمی به خاطر ویرایش مقالات و چکیده انگلیسی
- کارمندان دانشکده علوم زمین دانشگاه صنعتی شاهروod به ویژه سرکار خانم فارسی و سعیدی
- سازمان توسعه و نوسازی معادن صنایع معدنی ایران (ایمیدرو) به خاطر حمایت مالی و انجام آنالیز مایکروپروب و مطالعات سیالات درگیر

و در پایان از همسر عزیزم جهت فراهم آوردن محیط آرام، تایپ و ویرایش ادبی رساله

## تعهد نامه

اینجانب جوادقانعی اردکانی دانشجوی دوره دکتری رشته زمین شناسی دانشکده علوم زمین دانشگاه صنعتی شهرورد نویسنده پایان نامه پترولوری و ژئوشیمی توده های گرانیتوئیدی خضر آباد-عقدا (غرب یزد) و دکر گونی مجاورتی مرتبط با آنها تحت راهنمایی دکتر حسین مهدیزاده شهری متعدد می شوم.

- تحقیقات در این پایان نامه توسط اینجانب انجام شده است و از صحت و اصالت برخوردار است.
- در استفاده از نتایج پژوهش‌های محققان دیگر به مرجع موره استفاده استناد شده است.
- مطالب مندرج در پایان نامه تاکنون توسط خود یا فرد دیگری برای دریافت هیچ نوع مدرک یا امتیازی در هیچ جا ارائه نشده است.
- کلیه حقوق معنوی این اثر متعلق به دانشگاه صنعتی شهرورد می باشد و مقالات مستخرج با نام «دانشگاه صنعتی شهرورد» و یا Shahrood University of Technology » به چاپ خواهد رسید.
- حقوق معنوی تمام افرادی که در به دست آمدن نتایج اصلی پایان نامه تأثیرگذار بوده اند در مقالات مستخرج از پایان نامه رعایت می گردد.
- در کلیه مراحل انجام این پایان نامه ، در مواردی که از موجود زنده ( یا باقتهای آنها ) استفاده شده است خوبابط و اصول اخلاقی رعایت شده است.
- در کلیه مراحل انجام این پایان نامه، در مواردی که به حوزه اطلاعات شخصی افراد دسترسی یافته یا استفاده شده است اصل رازداری ، خوبابط و اصول اخلاق انسانی رعایت شده است .

تاریخ  
امضای دانشجو  
۱۳۹۷/۰۷/۲۷

## مالکیت نتایج و حق نشر

- کلیه حقوق معنوی این اثر و محسولات آن (مقالات مستخرج، کتاب، برنامه های رایانه ای، نرم افزار ها و تجهیزات ساخته شده است ) متعلق به دانشگاه صنعتی شهرورد می باشد. این مطلب باید به نحو مقتضی در تولیدات علمی مربوطه ذکر شود.
- استفاده از اطلاعات و نتایج موجود در پایان نامه بدون ذکر مرجع مجاز نمی باشد.

\* متن این صفحه نیز باید در ابتدای نسخه های تکثیر شده پایان نامه وجود داشته باشد.

## چکیده

توده‌های گرانیتوئیدی غرب یزد به سن الیگو-میوسن در بخش مرکزی کمربند آتشفسانی ارومیه-دختر واقع شده است. این توده‌ها در سنگ‌های آهکی کرتاسه سازند تفت و سنگ‌های آتشفسانی-رسوبی ائوسن نفوذ کرده و عموماً دارای بافت گرانولار و گاهی بافت پورفیریوئیدی، گرانوفیری، گرافیکی، پرتیتی، میرمکیتی و آنتی‌رپاکیوی می‌باشند. بر اساس مشاهدات صحرایی و مطالعات پتروگرافی و ژئوشیمیایی توده‌های یزد، ترکیبی از آلکالی‌فلدسپار‌گرانیت تا تونالیت داشته و به نوع گرانیت‌های I دمای بالا (کور‌دیلرایی)، Post-COLG، VAG، ACG و HSS تعلق دارند.

نمودارهای مختلف ژئوشیمیایی غنی‌شدگی عناصر LREE و تهی‌شدگی و آنومالی منفی عناصر HREE و HSFE را نشان می‌دهند که شاخص ماغماهای کالکوآلکالن فروزانش در حاشیه فعال قاره‌ای (ACM) است و ماغما از یک پوسته اقیانوسی فرورانده شده (نئوتیس) و گوه گوشته تحول یافته روی آن منشاء گرفته و در قاعده پوسته تحت تأثیر فرآیند ذوب پوسته‌ای و متعاقب آن فرآیند تبلور تفریقی، هضم و آغشتگی (AFC) حاصل شده است.

طبق مطالعات میکروسکوپی و آنالیز الکترون مایکروپروب، اکثر آمفیبول‌های گرانیتوئیدهای یزد از نوع منیزیو-هورنبلند هستند که از کانی مافیک غالب در شناخت گرانیت‌های نوع I می‌باشند. بر اساس روش‌های مختلف تعیین فشار و دما مناسب برای آمفیبول‌ها، بیوتیت‌ها و فلدسپارها، توده‌های گرانیتوئیدی یزد در دمایی بین ۵۳۰ تا ۸۹۰ درجه سانتی‌گراد، گستره فشاری بین ۰/۵ تا ۴/۳ کیلوبار و در عمق ۳ تا ۴/۵ کیلومتر سطح زمین تشکیل شده‌اند. و مقدار فوگاسیته اکسیژن بین ۱۰/۷ - تا ۱۴/۱۳ bars محاسبه گردیده است. برای تعیین ماهیت ماغما و محیط تکتونیکی از کانی‌های بیوتیت و آمفیبول استفاده شده که با توجه به ترکیب این کانی‌ها، به ویژه آمفیبول، ماهیت ماغما از نوع کالک‌آلکالن، دارای فوگاسیته اکسیژن نسبتاً بالا در زمان تبلور و محیط تشکیل آن حاشیه قاره‌ای فعال می‌باشد.

نفوذ توده‌های گرانیتوئیدهای غرب یزد در سنگ میزبان آهکی کرتاسه (سارندتفت) سبب

اسکارن سازی در منطقه با مجموعه کانیایی گارنت + پیروکسن + ترمولیت - اکیتنولیت + اپیدوت + کلریت + کوارتز + کلسیت شده است. مطالعه همیافتی کانی‌ها نشان می‌دهد که همیافت گارنت - پیروکسن با بیشترین فراوانی، پایه کانیایی اسکارن را شکل داده و گارنت و پیروکسن از دیدگاه بافتی ارتباط تنگاتنگی با هم دارند. مطالعه دقیق روابط پاراژنتیکی کانی‌های اسکارن بهوضوح مراحل مختلف را در تکوین سامانه اسکارن نشان می‌دهد، به طوری که دو مرحله بنیادی در زایش کانی‌ها تشخیص داده شده است، لذا می‌توان اسکارن منطقه را یک اسکارن چندزایی در نظر گرفت.

شیمی کانی‌ها، گارنت را متمایل به قطب گروسولار و پیروکسن را از نوع اوژیت نشان می‌دهد و اوج دگرگونی، شکل گیری پیروکسن در گامه پیشرونده اسکارن را باعث شده و به دنبال آن تشکیل گارنت اتفاق افتاده است. وجود منطقه‌بندی در گارنتها، جانشینی دوره‌ای  $\text{Al}-\text{Fe}^{+3}$  موجود در سیال را حین تشکیل این کانی نشان می‌دهد. حاکم شدن شرایط اکسیدان در طی تبلور سیال، سبب ناپایداری پیروکسن (پایین بودن فوگاسیته اکسیژن) و رشد گارنthsای آندرادیت در سامانه اسکارنی در  $T < 550$  درجه سانتی‌گراد شده است.

**واژه‌های کلیدی:** گرانیت‌وئیدی یزد، گرانیت نوع I، فرورانش، منیزیو-هورنبلند، ترموبارومتری، اسکارن چندزایی

## لیست مقالات استخراج شده از این پایان نامه عبارتند از:

- ۱- تیپ‌بندی گرانیتوئیدهای جنوب غرب یزد، پنجمین همایش تخصصی زمین‌شناسی دانشگاه پیام‌نور مرکز ابهر، ۱۸ تا ۲۰ آبان ماه، ۱۳۹۰.
- ۲- پتروژنر توده گرانیتوئیدی کافی‌آباد (غرب یزد)، ششمین همایش ملی زمین‌شناسی دانشگاه پیام‌نور مرکز کرمان، ۱۸ تا ۲۰ آبان ماه، ۱۳۹۱.
- ۳- پتروگرافی و ژئوشیمی توده گرانیتوئیدی کافی‌آباد، سی و یکمین گردهمایی علوم زمین، سازمان زمین‌شناسی و اکتشافات معدنی کشور، آذر، ۱۳۹۱.
- ۴- سنگ‌شناسی و ژئوشیمی آداکیت‌های اردکان، شانزدهمین همایش انجمن زمین‌شناسی ایران، دانشگاه شیراز، ۱۶ تا ۱۷ شهریور ماه، ۱۳۹۱.
- ۵- بررسی تحولات ماقمایی و پتروژنر توده‌های گرانیتوئید یزد، مجله پترولوزی دانشگاه اصفهان، سال چهارم، شماره شانزدهم، زمستان ۱۳۹۲، صفحات ۸۷-۱۰۴.
- ۶- پتروگرافی و پتروژنر اسکارن‌های هشت‌کوه خضرآباد یزد، مجله پترولوزی دانشگاه اصفهان، سال پنجم، شماره هفدهم، بهار ۱۳۹۳، صفحات ۶۹-۸۲.
- ۷- روابط بافتی، همیافتی، کلینتونیت- اسپینل- گارنت در اسکارن‌های ایران مرکزی به عنوان شواهدی در زایش کلینتونیت، مجله پترولوزی دانشگاه اصفهان، سال اول، شماره چهارم، زمستان ۱۳۸۹، صفحات ۶۵-۷۲.

## فهرست مطالب

### فصل اول: کلیات

۲	۱-۲- موقعیت جغرافیایی
۲	۱-۲- راههای دسترسی
۳	۱-۳- آب و هوا و پوشش گیاهی منطقه
۴	۱-۴- ژئومورفولوژی منطقه
۶	۱-۵- تاریخچه مطالعات پیشین در منطقه
۹	۱-۶- اهداف پایان نامه
۱۰	۱-۷- مراحل و روش‌های انجام پایان نامه
۱۰	۱-۷-۱- مرحله گردآوری اطلاعات
۱۰	۱-۷-۲- مرحله صحراوی
۱۱	۱-۷-۳- مرحله مطالعات آزمایشگاهی
۱۱	۱-۷-۴- مطالعات پتروگرافی
۱۱	۱-۷-۵- مطالعات شیمی کانی‌ها
۱۲	۱-۷-۶- مطالعات شیمی سنگ کل
۱۲	۱-۷-۷- مطالعات پالینومورف

### فصل دوم: زمین‌شناسی عمومی و مشخصات صحراوی

۱۴	۱-۲- مقدمه
۱۵	۲-۱- زمین‌شناسی ایران مرکزی
۱۶	۲-۱-۱- بلوک لوت
۱۶	۲-۱-۲- بلوک طبس
۱۶	۲-۲- زمین‌شناسی کمربند آتشفسانی ارومیه-دختر.
۲۰	۲-۳- زمین‌شناسی عمومی منطقه
۲۰	۲-۴-۱- زمین‌شناسی عمومی منطقه خضرآباد
۲۷	۲-۴-۲- زمین‌شناسی عمومی منطقه اردکان
۲۹	۲-۵- زمین‌شناسی ساختمانی و تکتونیک منطقه
۳۳	۲-۶- زمین‌شناسی اقتصادی

۳۵	- ویژگی‌های صحرایی توده‌های نفوذی منطقه
۳۵	۱- توده نفوذی امین‌آباد
۳۷	۲- توده نفوذی ارجنان
۳۷	۳- توده نفوذی خضرآباد
۴۰	۴- توده نفوذی کافی‌آباد
۴۲	۵- توده نفوذی علی‌آباد
۴۳	۶- توده نفوذی آربلنдан
۴۵	۷- دایک‌های منطقه
۴۵	۱- دایک‌های نسل اول (سین‌پلوتونیک)
۴۸	۲- دایک‌های نسل دوم
۵۰	۳- آنکلاوهای مافیک
۵۸	۴- نتیجه‌گیری

### فصل سوم: پتروگرافی

۶۲	۱- مقدمه
۶۲	۲- رده‌بندی مدار
۶۴	۳- توده نفوذی امین‌آباد
۶۴	۱- مشخصات بافتی
۶۴	۲- مشخصات کانی‌شناصی
۶۸	۳- توده نفوذی ارجنان
۶۸	۴- مشخصات بافتی
۶۸	۵- مشخصات کانی‌شناصی
۷۱	۶- توده نفوذی خضرآباد
۷۱	۷- مشخصات بافتی
۷۱	۸- مشخصات کانی‌شناصی
۷۳	۹- ویژگی‌های میکروسکوپی تمرکزهای موضعی تورمالین
۷۵	۱۰- توده نفوذی کافی‌آباد
۷۵	۱۱- مشخصات بافتی
۷۵	۱۲- مشخصات کانی‌شناصی
۷۷	۱۳- توده نفوذی علی‌آباد
۷۷	۱۴- مشخصات بافتی

۷۸	۲-۷-۳- مشخصات کانی‌شناسی
۸۱	۳- توده نفوذی آدربلندان
۸۱	۳-۱- مشخصات بافتی
۸۱	۳-۲- مشخصات کانی‌شناسی
۸۴	۳-۳- ویژگی‌های میکروسکوپی دایک‌ها
۸۴	۳-۴- دایک‌های نسل اول (سین پلوتونیک)
۸۵	۳-۵- دایک‌های نسل دوم
۸۵	۳-۶- دایک‌های اسیدی
۸۶	۳-۷- دایک‌های آندزیتی
۸۷	۳-۸- رگه‌های آپلیتی
۸۷	۳-۹- ویژگی‌های میکروسکوپی آنکلاوها
۸۸	۳-۱۰- تجزیه و تحلیل بافت‌ها
۸۹	۳-۱۱-۱- بافت پرتیتی
۸۹	۳-۱۱-۲- بافت گرانوفیری و گرافیکی
۹۰	۳-۱۱-۳- بافت آنتی‌رپاکیوی
۹۰	۳-۱۱-۴- بافت میرمکیتی
۹۲	۳-۱۱-۵- دگرسانی
۹۴	۳-۱۱-۶- متاسوماتیسم
۹۵	۳-۱۲- ترتیب تبلور سنگ‌های مورد مطالعه
۹۵	۳-۱۳- نتیجه‌گیری

#### فصل چهارم: شیمی کانی‌ها

۱۰۰	۴-۱- مقدمه
۱۰۰	۴-۲- روش آنالیزهای نقطه‌ای الکترون مایکروپرورب
۱۰۱	۴-۳- روش تحقیق
۱۰۳	۴-۴- آمفیبول
۱۰۳	۴-۴-۱- فرمول عمومی آمفیبول‌ها
۱۰۴	۴-۴-۲- شرایط محاسبه فرمول استاندارد آمفیبول‌ها
۱۰۵	۴-۴-۳- تمایز آمفیبول ماقمایی و دگرگونی
۱۱۰	۴-۴-۴- رده‌بندی آمفیبول‌ها
۱۱۱	۴-۴-۵- فشارسنجدی و دماسنجدی آمفیبول‌ها

۱۱۴	- شرایط فشارسنجی و دماسنجی آمفیبول‌ها
۱۱۷	- تعیین فشارسنجی و دماسنجی آمفیبول‌ها
۱۲۰	- تعیین دماسنجی زوج کانی‌ها پلاژیوکلاز- هورنبلند
۱۲۳	- تعیین عمق توده‌های گرانیت‌وئیدی
۱۲۴	- تعیین فوگاسیته اکسیژن
۱۲۶	- تعیین منشاء و محیط تکنوماگمایی
۱۲۸	- تغییرات عناصر در آمفیبول‌ها
۱۲۹	- بیوتیت
۱۳۰	- فرمول عمومی بیوتیت
۱۳۵	- ویژگی‌های شیمیایی خاص بیوتیت
۱۳۵	- تمایز بیوتیت ماقمایی و دگرگونی
۱۳۶	- رده‌بندی بیوتیت
۱۳۶	- رده‌بندی دیر و همکاران (۱۹۹۱)
۱۳۶	- رده‌بندی اسپیر (۱۹۸۴)
۱۳۷	- رده‌بندی ریدر و همکاران (۱۹۹۸)
۱۳۸	- رده‌بندی فوستر (۱۹۸۹)
۱۳۸	- پتروژنز گرانیت‌ها بر اساس ترکیب شیمیایی بیوتیتها
۱۳۹	- رده‌بندی و درجه اشباع شدگی آلومینیم گرانیت‌ها
۱۳۹	- رده‌بندی لالوند و برنارد (۱۹۹۳)
۱۴۰	- رده‌بندی نوکولدز (۱۹۴۷)
۱۴۰	- رده‌بندی جیانگ و همکاران (۲۰۰۲)
۱۴۱	- تعیین سری ماقمایی
۱۴۱	- رده‌بندی ناچیت (۲۰۰۵)
۱۴۲	- رده‌بندی عبدالرحمن (۱۹۹۴)
۱۴۴	- دماسنجی بیوتیت
۱۴۴	- تعیین فوگاسیته اکسیژن
۱۴۵	- تعیین میزان آلودگی پوسته‌ای گرانیت‌ها
۱۴۵	- الگوی پراکندگی نمونه‌ها در چهار ضلعی ASPE
۱۴۶	- نمودارهای اگیو و بریمهال (۱۹۸۸)
۱۴۷	- تغییرات عناصر در بیوتیتها
۱۴۸	- فلدسپار

۱۵۶	۷-۴- تورمالین.....
۱۵۶	۱-۷-۴- فرمول عمومی تورمالین.....
۱۵۷	۲-۷-۴- انواع تورمالین.....
۱۵۷	۱-۲-۷-۴- تورمالین های اولیه (ماگمایی).....
۱۵۸	۲-۲-۷-۴- تورمالین های ثانویه (گرمانی).....
۱۵۸	۳-۲-۷-۴- تورمالین های حدواسط.....
۱۵۸	۴-۳-۷-۴- ردهبندی تورمالین ها.....
۱۶۴	۴-۸- مگنتیت.....
۱۶۴	۴-۹- کلریت.....
۱۶۷	۴-۱۰- نتیجه گیری.....

#### فصل پنجم: ژئوشیمی

۱۷۴	۱-۵- مقدمه.....
۱۷۶	۲-۵- روش آنالیز ICP-MS.....
۱۷۶	۳-۵- تصحیح نتایج آنالیز شیمیایی.....
۱۷۷	۱-۳-۵- حذف مواد فرآر (L.O.I).....
۱۷۷	۲-۳-۵- تعیین نسبت $\text{Fe}_2\text{O}_3/\text{FeO}$ .....
۱۷۸	۴-۵- ردهبندی سنگ های منطقه.....
۱۸۲	۴-۵- ردهبندی نورماتیو.....
۱۸۳	۱-۴-۵- نمودار نورماتیو اشتريکایزن و لومتر (۱۹۷۹).....
۱۸۵	۱-۴-۵- نمودار نورماتیو اکانر (۱۹۶۵).....
۱۸۵	۲-۴-۵- ردهبندی شیمیایی.....
۱۸۷	۱-۲-۴-۵- ردهبندی میدلموست و همکاران (۱۹۹۴).....
۱۸۷	۲-۲-۴-۵- ردهبندی کاکس و همکاران (۱۹۷۹).....
۱۸۸	۳-۲-۴-۵- ردهبندی دولاروش و همکاران (۱۹۹۰).....
۱۸۸	۴-۴-۵- ردهبندی دایک ها و سنگ های آتشفسانی.....
۱۸۹	۵-۵- نمودارهای تغییرات ترکیبی عناصر.....
۱۹۰	۱-۵-۵- نمودارهای تغییرات عناصر اصلی.....
۱۹۰	۱-۱-۵-۵- نمودارهای تغییرات عناصر اصلی در مقابل سیلیس (هارکر).....
۱۹۲	۱-۵-۵- نمودارهای تغییرات عناصر اصلی در مقابل ضریب تفریق.....
۱۹۴	۲-۵-۵- نمودارهای تغییرات عناصر کمیاب.....

۱۹۵	- نمودارهای تغییرات عناصر کمیاب سازگار در مقابل سیلیس.....
۱۹۷	- نمودارهای تغییرات عناصر کمیاب ناسازگار در مقابل سیلیس.....
۱۹۹	- نمودارهای تغییرات عناصر کمیاب در مقابل ضرب تفریق.....
۲۰۱	- مقایسه فرآیندهای تبلور تفریقی و ذوب بخشی .....
۲۰۲	- نمودارهای تغییرات عناصر ناسازگار در مقابل عناصر ناسازگار.....
۲۰۲	- نمودارهای تغییرات عناصر ناسازگار در مقابل عناصر سازگار.....
۲۰۴	- نمودارهای تغییرات نسبت‌ها .....
۲۰۶	- نمودارهای عنکبوتی چند عنصری.....
۲۰۶	- نمودارهای عنکبوتی بهنجارشده نسبت به گوشته اولیه .....
۲۰۸	- نمودارهای عنکبوتی بهنجارشده نسبت به مورب.....
۲۰۹	- نمودارهای عنکبوتی بهنجارشده نسبت به کندریت.....
۲۱۲	- نمودارهای عنکبوتی بهنجارشده نسبت به پوسته قاره‌ای.....
۲۱۸	- سری‌های مانگمایی.....
۲۲۰	- ضربی اشباع از آلومین (ASI).....
۲۲۱	- نتیجه‌گیری .....

### فصل ششم: پترولوزی

۲۲۴	- مقدمه.....
۲۲۴	- تاریخچه رده‌بندی گرانیت‌ها.....
۲۲۶	- رده‌بندی گرانیت‌های منطقه.....
۲۲۶	- مشخصات توده‌های گرانیت‌های منطقه.....
۲۲۶	- مشخصات صحرایی.....
۲۲۷	- مشخصات کانی‌شناسی .....
۲۲۷	- مشخصات ژنوشیمی.....
۲۲۸	- نمودارهای ژنوشیمیایی تمایز گرانیت‌ها.....
۲۲۸	- نمودارهای والن و همکاران (۱۹۸۷).....
۲۳۰	- نمودار کولینز و همکاران (۱۹۹۹).....
۲۳۱	- نمودار فورنس و همکاران (۱۹۹۶).....
۲۳۱	- نمودارهای چاپل و وايت (۲۰۰۱).....
۲۳۲	- نمودار مثلثی باگاس (۲۰۱۰).....
۲۳۳	- نمودارهای تغییرات عناصر اصلی و کمیاب .....

۲۳۳.....	۴-۶- مشخصات و ردهبندی گرانیت‌های نوع I
۲۳۴.....	۴-۶- شواهد پتروگرافی
۲۳۴.....	۴-۶- شواهد ژئوشیمیایی
۲۳۵.....	۵-۶- ردهبندی باربارین (۱۹۹۹)
۲۳۸.....	۶-۶- ردهبندی کاسترو و همکاران (۱۹۹۱)
۲۴۱.....	۶-۷- جایگاه تکتونوماگمایی
۲۴۲.....	۶-۷- نمودار باچلور و بودن (۱۹۸۵)
۲۴۲.....	۶-۷- نمودار مثلثی هریس و همکاران (۱۹۸۶)
۲۴۲.....	۶-۷- نمودار پیرس و همکاران (۱۹۸۴ و ۱۹۹۶)
۲۴۴.....	۶-۷- نمودارهای مولر و گروس (۱۹۹۷)
۲۴۴.....	۶-۸- فرآیندهای مؤثر در تحولات ماگمایی منطقه
۲۴۵.....	۶-۸- تبلور تفریقی
۲۴۹.....	۶-۸- آلایش و اختلاط مواد پوسته‌ای
۲۵۲.....	۶-۹- مدل پیشنهادی ژئodynامیکی منطقه
۲۵۷.....	۶-۱۰- نتیجه‌گیری

## فصل هفتم: دگرگونی مجاورتی

۲۶۰.....	۱-۷- مقدمه
۲۶۰.....	۲-۷- مرمرها
۲۶۱.....	۳-۷- هورنفلس‌ها
۲۶۲.....	۴-۷- شیست لکه‌دار
۲۶۴.....	۵-۷- اسکارن
۲۶۵.....	۱-۵-۷- مکانیسم تشکیل اسکارن
۲۶۵.....	۲-۵-۷- مراحل تشکیل اسکارن
۲۶۷.....	۳-۵-۷- ردهبندی اسکارن‌ها
۲۶۷.....	۱-۳-۵-۷- ترکیب سنگ مادر
۲۶۸.....	۲-۳-۵-۷- موقعیت اسکارن نسبت به توده نفوذی
۲۶۹.....	۳-۳-۵-۷- نوع سنگ جایگزین شونده
۲۷۰.....	۴-۳-۵-۷- جایگاه تکتونیکی
۲۷۱.....	۵-۳-۵-۷- نوع ماده معدنی
۲۷۱.....	۴-۵-۷- کانی‌شناسی و کانسارتاسازی اسکارن‌ها

۵-۵-۷- ارتباط توده‌های گرانیتوئیدی منطقه با اسکارن‌ها	۲۷۳
۶-۵-۷- اسکارن‌های غرب یزد	۲۷۵
۶-۵-۷-۱- اسکارن هشت‌کوه	۲۷۶
۶-۵-۷-۱-۱- مشخصات صحرایی	۲۷۶
۶-۵-۷-۲- پتروگرافی	۲۷۷
۶-۵-۷-۳- شیمی کانی‌های تشکیل‌دهنده اسکارن	۲۸۴
۶-۵-۷-۴- پتروژنز اسکارن‌ها	۲۹۸
۶-۵-۷-۵- نتیجه‌گیری	۳۰۳
۶-۵-۷-۶- اسکارن‌های باقی‌آباد	۳۰۴
۶-۵-۷-۷- مشخصات صحرایی	۳۰۴
۶-۵-۷-۸- مشخصات پتروگرافی و شیمی کانی‌ها	۳۰۴
۶-۵-۷-۹- پتروژنز اسکارن	۳۱۱
۶-۵-۷-۱۰- نتیجه‌گیری	۳۱۵
<b>فصل هشتم: نتیجه‌گیری و پیشنهادات</b>	<b>۳۱۷</b>
۱-۸- نتیجه‌گیری	۳۱۸
۲-۸- پیشنهادات	۳۲۴
<b>منابع</b>	<b>۳۲۵</b>
الف) منابع فارسی	۳۲۵
ب) منابع لاتین	۳۳۱

## فهرست شکل‌ها

### فصل اول

شکل ۱-۱- موقعیت جغرافیایی و راههای دسترسی به منطقه مورد مطالعه (اقتباس از نقشه راههای

۳ ..... ایران، ۱۳۸۸)

شکل ۱-۲- تصاویر ماهواره‌ای از موقعیت و ارتباط صحرایی توده‌های نفوذی غرب یزد با سنگ‌های

۵ ..... میزبانشان و زئومورفولوژی منطقه

### فصل دوم

شکل ۲-۱- تقسیمات زمین‌شناسی و ساختار ایران (اقتباس از شیخ‌الاسلامی و همکاران، ۲۰۰۳) ۱۴

شکل ۲-۲- جایگاه منطقه مورد مطالعه (بیضی) در ارتباط با نوار ماغمایی ارومیه - دختر و سایر پهنه‌های

رسوبی - ساختاری عمدۀ زمین‌شناسی ایران نشان می‌دهد (آقاباتی، ۲۰۰۴) ۱۵

شکل ۲-۳- بخشی از نقشه زمین‌شناسی ۱:۱۰۰۰۰۰ ۱: منطقه خضرآباد با اندازه تغییرات (اقتباس از حاج

۲۱ ..... ملاعلی و همکاران، ۱۳۷۵)

شکل ۲-۴- کنتاکت توده لوکوگرانیت خضرآباد (LG) با سازند کهر (KF) و سازند سلطانیه (SF) عکس

۲۲ ..... از معدن آهن نظر، دید به سمت جنوب

شکل ۲-۵- کنتاکت توده نفوذی خضرآباد با سازند کهر (پنج کیلومتر مانده به خضرآباد) ۲۲

شکل ۲-۶- کانسارسازی آهن در کنتاکت توده نفوذی خضرآباد با سازند کهر

۲۲ ..... (پنج کیلومتر مانده به خضرآباد)

شکل ۲-۷- سنگ‌های آهکی توده‌ای سازند جمال همراه با نوارهای چرت با سطح فرسایش تیره رنگ ۲۲

شکل ۲-۸- دورنمایی از دولومیت سازند شتری (مزروعه نظر - پنج کیلومتر مانده به خضرآباد) ۲۲

شکل ۲-۹- کنتاکت تدریجی و هم شیب سازند سنگستان (SF) با سنگ آهک سازند تفت (TF) ۲۴

شکل ۲-۱۰- ارتباط صحرایی گرانیت‌ئیدی شیرکوه (ShG) با سازند تفت (TF) ۲۴

شکل ۲-۱۱- بخشی از نقشه زمین‌شناسی ۱:۱۰۰۰۰۰ ۱: منطقه علی‌آباد با اندازه تغییرات (اقتباس از حاج

۲۵ ..... ملاعلی و همکاران، ۱۳۷۵)

شکل ۱۲-۲ - نفوذ توده نفوذی گرانیت‌وئیدی کافی‌آباد (KFG) در سازند تفت (TF) و تشکیل اسکارن (SK) در جنوب روستای هشت‌کوه	۲۶
شکل ۱۳-۲ - نفوذ توده نفوذی گرانیت‌وئیدی علی‌آباد (ALG) در سازند تفت (TF) و تشکیل اسکارن (SK) در غرب روستای حسن‌آباد	۲۶
شکل ۱۴-۲ - تشکیلات ماسه‌سنگی و مارنی نئوژن	۲۶
شکل ۱۵-۲ - نفوذ گنبدهای آتشفسانی پلیو-کواترنر (DV) در سنگ‌های اوسن (EF)	۲۶
شکل ۱۶-۲ - بخش‌هایی از نقشه زمین‌شناسی ۱:۲۵۰۰۰۰ منطقه اردکان با اندکی تغییرات (اقتباس از عمیدی و همکاران، ۱۹۷۸)	۲۸
شکل ۱۷-۲ - دورنمایی از سنگ‌های رسوبی-آتشفسانی اوسن در جنوب روستای ارجنان	۲۹
شکل ۱۸-۲ - توده نفوذی گرانیت‌وئیدی امین‌آباد (AMG) و مجموعه عقدا (AC) (غرب روستای امین‌آباد)	۲۹
شکل ۱۹-۲ - نفوذ دایک‌های آندزیتی (AD) در گرانیت‌وئیدی ارجنان (EJG) (در شمال روستای امین‌آباد)	۲۹
شکل ۲۰-۲ - نفوذ دایک‌های ریوداسیتی (RD) در سنگ‌های آتشفسانی - رسوبی اوسن (EV) در شمال روستای امین‌آباد	۲۹
شکل ۲۱-۲ - دورنمایی از معدن آهن نظر خضرآباد (پنج کیلومتر مانده به خضرآباد)	۳۴
شکل ۲۲-۲ - رگچه‌های اولیژیست در سنگ‌های لوکوگرانیت خضرآباد در کانسار آهن نظر خضرآباد (پنج کیلومتر مانده به خضرآباد)	۳۴
شکل ۲۳-۲ - رگچه‌های مالاکیت (Ml)، آزوریت (Az)، مگنتیت (Mag) و لیمونیت (Lm) در کانسار مس دره زرشک	۳۴
شکل ۲۴-۲ - چشم‌های آب گرم و تشکیل نهشت‌های تراورتن در غرب کافی‌آباد	۳۴
شکل ۲۵-۲ - دورنمایی از رخنمون‌های تقریباً مخروطی شکل متعلق به توده نفوذی امین‌آباد در غرب روستای امین‌آباد	۳۶
شکل ۲۶-۲ - همبری توده گرانیت‌وئید امین‌آباد (AMG) با سنگ‌های میزبان آتشفسانی اوسن (EV) در غرب روستای امین‌آباد	۳۶
شکل ۲۷-۲ - رگه‌های آپلیتی (AP) قطع کننده سنگ‌های گرانیت‌وئیدی امین‌آباد	

۳۶ ..... (AMG) و آنکلاو میکروگرانولار مافیک (MEE) در جنوب غرب روستای امین‌آباد.....

شکل ۲-۲۸-۲- رگهای پigmاتیتی (Pm) و آپلیتی (AP) در توده‌های گرانیتوئیدی امین‌آباد (AMG)

در جنوب غرب روستای امین‌آباد.....

شکل ۲-۲۹-۲- نفوذ زبانه‌ای از توده گرانیتوئیدی ارجنان (EJG) در سنگ‌های آتشفسانی-رسوبی

۳۸ ..... ائوسن (EV) در جنوب روستای ارجنان.....

شکل ۲-۳۰- آپوفیزهای از توده گرانیتوئیدی ارجنان (EJG) با سنگ‌های آتشفسانی-رسوبی

۳۸ ..... ائوسن (EV) در جنوب روستای ارجنان.....

شکل ۲-۳۱-۲- درشت بلورهای پلازیوکلاز و در گرانوپوریت ارجنان (EJG) و آنکلاوهای مافیک (MEE).....

شکل ۲-۳۲-۲- سنگ مرمر ترمولیت‌دار با بلورهای چوب کبریتی ترمولیت به رنگ سبز

در شمال روستای امین‌آباد.....

شکل ۲-۳۳-۲- همبری توده نفوذی آلکالی‌فلدسبار گرانیت خضرآباد (KHG) با سازند کهر (KF) در

۳۹ ..... مزرعه نظر پنج کیلومتر مانده به خضرآباد.....

شکل ۲-۳۴-۲- آپوفیزی از توده نفوذی آلکالی‌فلدسبار گرانیت خضرآباد (KHG) در سازند کهر (KF) و سازند

۳۹ ..... دولومیت سلطانیه (SF) در مزرعه نظر پنج کیلومتر مانده به خضرآباد.....

شکل ۲-۳۵-۲- تمرکزهای موضعی غنی از تورمالین کروی تا بیضوی شکل (MX) در توده نفوذی

۳۹ ..... آلکالی‌فلدسبار گرانیت خضرآباد (KHG) در جنوب خضرآباد.....

شکل ۲-۳۶-۲- نمای نزدیکتر از تمرکزهای موضعی غنی از تورمالین با حاشیه غنی از کوارتز و

۳۹ ..... آلکالی‌فلدسبار با رنگ روشن در جنوب خضرآباد.....

شکل ۲-۳۷-۲- نفوذ توده گرانیتوئیدی کافی‌آباد (KFG) در آهک کرتاسه سازند تفت (TF).....

شکل ۲-۳۸-۲- همبری توده گرانیتوئیدی کافی‌آباد (KFG) در آهک کرتاسه سازند تفت (TF) و

۴۱ ..... اسکارن‌زایی (Sk) صورت گرفته در نزدیکی مرز آن دو (جنوب روستای هشت کوه).....

شکل ۲-۳۹-۲- فرایش تخم مرغی شکل در توده گرانیتوئیدی کافی‌آباد (KFG) در شرق کافی‌آباد.....

شکل ۲-۴۰-۲- همبری تدریجی بین توده گرانیتوئیدی کافی‌آباد (KFG) و توده نفوذی آلکالی‌فلدسبار گرانیت

۴۱ ..... خضرآباد (KHG) (جنوب روستای هشت کوه).....

شکل ۲-۴۱- تقاطع رگه‌های آپلیتی (AP) در توده گرانیتوئیدی کافی‌آباد (KFG) (شرق روستای کافی‌آباد). ۴۱

شکل ۲-۴۲- رشد درشت بلورهای ترمولیت - اکتینولیت در حفرات موجود در توده نفوذی

گرانیتوئیدی (KFG) (شرق روستای کافی‌آباد). ۴۱

شکل ۲-۴۳- ارتباط توده گرانیتوئیدی علی‌آباد (ALG) با آهک کرتاسه سازند تفت (TF)

(در جنوب علی‌آباد). ۴۲

شکل ۲-۴۴- همبری توده گرانیتوئیدی علی‌آباد (ALG) با سازند نایبند تریاس بالایی (NF)

(در جنوب علی‌آباد). ۴۲

شکل ۲-۴۵- همبری آهک کرم رنگ سازند تفت با تناوبی از شیل و ماسه‌سنگ به سن کرتاسه (TF) با

سازندهای کهر (KF) و دولومیت سلطانیه (SF) (در غرب نصرآباد). ۴۴

شکل ۲-۴۶- ارتباط صحرایی توده نفوذی گرانیتوئیدی آدربلندان (ADG) با سازند تفت (TF)

و تشکیل اسکارن (Sk) و هورنفلس (HF) (در غرب نصرآباد). ۴۴

شکل ۲-۴۷- کنتاکت دیواره بلند و پلکانی گنبد آتشفسانی نفوذن (ND) با توده نفوذی گرانیتوئیدی

آدربلندان (ADG) (در شرق روستای استاز). ۴۴

شکل ۲-۴۸- خوردشدنگی و دگرسانی توده نفوذی گرانیتوئیدی آدربلندان (ADG) در تماس

بالاصل گنبد آتشفسانی نفوذن (ND) (در شرق روستای استاز). ۴۴

شکل ۲-۴۹- نفوذ دایک آندزیتی (AD) در سازند تفت (TF) (جنوب خضرآباد- مزرعه بوز). ۴۵

شکل ۲-۵۰- نفوذ دایک آندزیتی سین پلوتونیک (AD) در گرانیتوئیدی امین‌آباد (AMG)

(غرب روستای امین‌آباد). ۴۵

شکل ۲-۵۱- همبری دایک آندزیتی سین پلوتونیک (AD) با مونزوگرانیت امین‌آباد (AMG) و ساخت

پورفیروئیدی با درشت بلورهای پلازیوکلاز و هورنبلند در دایک آندزیتی (غرب روستای امین‌آباد). ۴۷

شکل ۲-۵۲- حاشیه‌های سینوسی شکل و مرز احناه‌دار و کنگره‌مانند دایک آندزیتی سین‌پلوتونیک

(AMG) با مونزوگرانیت امین‌آباد (AD) (غرب روستای امین‌آباد). ۴۷

شکل ۲-۵۳- نفوذ زبانه‌هایی از مذاب گرانیتی (سنگ میزبان) به درون شکستگی‌های

دایک آندزیتی سین‌پلوتونیک (AD) (غرب روستای امین‌آباد). ۴۷